

# طبقه‌بندی پتانسیل‌های وابسته به رخداد مربوط به حافظه در بازشناسی تصاویر جدید و قدیم با استفاده از ویژگی‌های زمان-فرکانس

ساجده رضانیا<sup>۱</sup>، علی مطیع نصرآبادی<sup>۲</sup>، وحید ابوطالبی<sup>۳</sup>، مجید قشونی<sup>۴</sup>

۱- پژوهشکده پردازش هوشمند علائم

۲- گروه مهندسی پزشکی، دانشکده فنی، دانشگاه شاهد

۳- دانشگاه یزد، پژوهشکده پردازش هوشمند علائم

۴- دانشگاه آزاد اسلامی واحد مشهد

نویسنده‌ی عهده‌دار مکاتبات: ساجده رضانیا

## چکیده:

هدف از این تحقیق طراحی یک سیستم ارزیاب حافظه با استفاده از پتانسیل‌های وابسته به رخداد مغزی است. به این منظور، از دادگان پتانسیل‌های وابسته به رخداد ثبت شده روی سه کانال Cz، Pz و Fz استفاده شده است که در آن، طی آزمایشی از افراد خواسته شده است، تصاویر بی‌معنایی را که در مرحله‌ی آموزش مشاهده کرده‌اند، از تصاویری که تاکنون ندیده‌اند تفکیک نمایند. جهت تحقق این امر، از ویژگی‌های مرتبط با فعالیت حافظه در حوزه زمان-فرکانس استفاده گردید. ضرایب تبدیل موجک گسسته‌ی پتانسیل‌های وابسته به رخداد، محاسبه شد و سپس با استفاده از میانگین، واریانس و انرژی ضرایب برخی باندها، مجموعاً ۳۶ ویژگی روی سه کانال به‌دست آمد. پس از انتخاب ویژگی‌های مناسب روی تک کانال‌ها و مجموع سه کانال، آنالیز تفکیک خطی، جهت به‌دست آوردن درصد تفکیک دو گروه توسط ویژگی‌های منتخب انجام گرفت. سرانجام با ترکیب ویژگی‌های سه کانال، دادگان دو گروه با درصد درستی ۸۹/۳٪ در مرحله‌ی آزمون تفکیک شدند.

واژه‌های کلیدی: پتانسیل‌های وابسته به رخداد، تبدیل موجک گسسته، آنالیز تفکیک خطی

## ۱- مقدمه

شده در حوزه‌ی بازیابی حافظه، فرد اطلاعاتی را در مرحله‌ی آموزش به خاطر می‌سپارد و در مرحله‌ی آزمون یا بازیابی این اطلاعات در برابر این سؤال که آیا شیء مورد نظر را در مرحله‌ی آموزش، دیده یا خیر، تصمیم می‌گیرد. به‌طور کلی دو حوزه جهت اندازه‌گیری فعالیت‌های مغزی وجود دارد: حوزه‌ی اول، روش همودینامیکی مبتنی بر تصویربرداری عملکردی مغز است که بر اساس تشخیص جریان خون و اکسیژن در نواحی مربوطه در مغز عمل می‌کند و PET<sup>۴</sup> و fMRI<sup>۵</sup>، زیرمجموعه‌ی آن هستند. حوزه‌ی دوم، روش‌های مبتنی بر ثبت فعالیت الکتریکی سر (EEG<sup>۶</sup>) هستند که تحلیل پتانسیل‌های وابسته به رخداد<sup>۷</sup>، در این حوزه قابل

حافظه، طرحی فرضی از سه فرآیند مشخص ولی جدانشدنی و وابسته به یکدیگر ثبت<sup>۱</sup>، ذخیره<sup>۲</sup> و بازیابی<sup>۳</sup> است. فرآیند ثبت، ورود هر تحریکی به سیستم حافظه را بیان می‌کند. مرحله‌ی ثبت برای ذخیره لازم است ولی کافی نیست. در این فرآیند اطلاعاتی که از تحریک رخ داده، استخراج شده کُد می‌شود. ذخیره، فرآیندی است که طی آن اطلاعات سازماندهی و اندوخته می‌گردد. این مرحله برای بازیابی لازم است، اما کافی نیست. بازیابی، فرآیند دستیابی به اطلاعاتی است که به سیستم وارد شده است [۱]. زمانی که چیزی را به یاد می‌آوریم، پردازشی صورت می‌گیرد که طی آن، در مغز بازیابی و بازسازی اطلاعات مرتبط با کار انجام شده یا مسئله‌ی فراگرفته شده صورت می‌پذیرد. در مطالعات انجام

<sup>4</sup> Positron Emission Tomography

<sup>5</sup> Functional Magnetic Resonance Imaging

<sup>6</sup> Electroencephalography

<sup>7</sup> Event Related Potential

<sup>1</sup> registration

<sup>2</sup> storage

<sup>3</sup> retrieval

ارتباط کلمه با هر کار مشخص شد؛ سپس در مرحله‌ی آزمون با تعریف یکی از کارها به عنوان هدف، از سوژه خواسته شد با زدن کلید، کلمات متناسب با کار هدف را از غیرهدف تفکیک کند. نتایج این تحقیق نشان داد دامنه‌ی پتانسیل وابسته به رخداد مربوط به تحریک هدف، بزرگتر از غیرهدف است و ناحیه‌ی پاریتال، بیشترین اختلاف را در پتانسیل‌های وابسته به رخداد ثبت شده بین این دو نوع تحریک داشت [۷]. مطالعه‌ی دیگری که توسط قشونی در دانشگاه آزاد مشهد انجام شد از حوزه‌ی تحلیل شهودی و یا آماري پتانسیل‌های وابسته به رخداد فراتر رفته و از تحلیل‌های مبتنی بر روش‌های بازشناسی الگو بهره برده است [۸].

## ۲ - مشخصات ثبت داده‌های استفاده شده

در تحقیق حاضر، از داده‌های ثبت شده توسط قشونی (یکی از نویسندگان) و همکارانش استفاده گردیده که جزئیات کامل مربوط به آن در مرجع [۸] آمده است. پروتکل استفاده شده جهت ثبت داده‌ها به این صورت بود که در مرحله‌ی آموزش، ۱۵ تصویر بدون مفهوم سیاه و سفید متفاوت، با ترتیب تصادفی روی نمایشگر که مقابل فرد قرار داشته نمایش داده و از او خواسته شد تصاویر را به خاطر بسپارد. در فاز آزمون که بلافاصله پس از اتمام مرحله‌ی آموزش آغاز می‌شد، مجموعه‌ای از تصاویری که در مرحله‌ی آموزش نمایش داده شده (قدیم) و تصاویری که در مرحله‌ی آموزش نمایش داده نشده (جدید)، به فرد نشان داده و از او خواسته شد که از طریق فشردن دو کلید که مقابل انگشتان اشاره‌ی دست راست و چپ او قرار دارد، بین تصاویر جدید و قدیم، تصمیم‌گیری نماید؛ به طوری که به محض مشاهده‌ی تصویر قدیمی، کلید راست و در غیر این صورت کلید چپ را فشار دهد. زمان نمایش هر تصویر در مرحله‌ی آموزش، به گونه‌ای در نظر گرفته شد که سوژه، فرصت تحلیل تصاویر و یا تطبیق آن با دانش قبلی خود را نداشته باشد. بر این اساس در مرحله‌ی آموزش و آزمون، مدت زمان نمایش هر تصویر، ۷۰۰ میلی ثانیه و مدت زمان خالی بودن صفحه پس از نمایش هر تصویر در مرحله‌ی آموزش، برابر ۱ ثانیه و در مرحله‌ی آزمون ۱/۷ ثانیه بود. تعداد تصاویر در مرحله‌ی آزمون برابر ۳۰ تصویر بی‌مفهوم بود که ۱۵ عدد آن‌ها را تصاویر قدیمی و ۱۵ تصویر باقی مانده را تصاویر جدید تشکیل می‌دادند. این تصاویر به صورت تصادفی با یکدیگر

بحث است. روش‌های همودینامیک وضوح مکانی بیشتری دارند در حالی که با استفاده از پتانسیل‌های وابسته به رخداد، می‌توان از وضوح زمانی بالاتری بهره‌مند شد. تاکنون تحقیقات زیادی برای آشکارسازی حافظه براساس تحلیل پتانسیل‌های وابسته به رخداد صورت گرفته است. برای مثال جانسون<sup>۱</sup> و راک<sup>۲</sup> طی دو تحقیق جداگانه به این نتیجه رسیدند که پاسخ به کلماتی که قبلاً به خاطر سپرده شده‌اند یا به اصطلاح "کلمات قدیم"، نسبت به "کلمات جدید"، منجر به بروز مؤلفه‌ی LPC<sup>۳</sup> با دامنه‌ی مثبت بیشتر در بازه‌ی ۴۰۰ تا ۸۰۰ میلی‌ثانیه پس از تحریک می‌شود، به طوری که این اختلاف در ناحیه‌ی پاریتال<sup>۴</sup> نسبت به نواحی دیگر سطح سر بیشتر بود [۲،۳]. هم‌چنین براساس تحقیقات دیگری که توسط فریدمن<sup>۵</sup> و بسون<sup>۶</sup> و در سال‌های ۱۹۹۰ و ۱۹۹۲ میلادی انجام شد، ارتباط یکی دیگر از مؤلفه‌های پتانسیل وابسته به رخداد به نام N400 که ۴۰۰ میلی‌ثانیه پس از تحریک و با دامنه‌ی منفی ظاهر می‌شود، با تصمیم‌گیری بین کلمات قدیم و جدید گزارش شد. به طوری که این مؤلفه در پاسخ به تحریک قدیم، دامنه منفی کمتری نسبت به تحریک جدید داشت و این اثر در ناحیه فرونتال<sup>۷</sup> بیشتر از سایر نواحی بود [۴،۵]. علاوه بر این در تحقیق دیگری که توسط فینگن<sup>۸</sup> و همکارانش در سال ۲۰۰۲ میلادی صورت گرفت، به بررسی اثر تکرار کلمات در مرحله‌ی آموزش در پتانسیل وابسته به رخداد هنگام پاسخ‌گویی به کلمات جدید و قدیم پرداخته شد. طبق نتایجی که از این تحقیق به دست آمد، دامنه‌ی مؤلفه‌ی N400 مرتبط با عامل تکرار بود؛ به طوری که دامنه‌ی آن در پاسخ به تحریک با تکرار کمتر (یک بار)، منفی‌تر از پاسخ به تحریک با تکرار بیشتر (سه بار) و در پاسخ به تحریک جدید، منفی‌تر از دو حالت قبل بود و این اثر در ناحیه‌ی پاریتال محسوس‌تر از نواحی دیگر گزارش شد [۶]. در تحقیق دیگری که توسط دیزول<sup>۹</sup> کیفالی<sup>۹</sup> و همکارانش انجام شد، اثر نوع تحریک (تحریک هدف و غیرهدف) در سیگنال مغزی ثبت شده بررسی گردید. به این نحو که در مرحله‌ی آموزش، با تعریف دو کار خاص برای سوژه، هنگام نمایش هر کلمه،

<sup>1</sup> Johnson

<sup>2</sup> Rugg

<sup>3</sup> Late Positive Component

<sup>4</sup> Parietal

<sup>5</sup> Friedman

<sup>6</sup> Besson I

<sup>7</sup> Frontal

<sup>8</sup> Finnigan

<sup>9</sup> Dzulkipli



شکل (۱): مراحل انجام کار

### ۳-۱- پیش پردازش

در این مرحله، هدف حذف عوامل مداخله‌ای نویز برق شهر، سطح DC و اثر پلک‌زدن که روی سیگنال EEG ظاهر می‌شود، از سیگنال اصلی است. برای حذف سطح DC و نویز برق شهر به ترتیب، سیگنال از یک فیلتر بالاگذر elliptic درجه ۴ با فرکانس قطع ۰/۵ هرتز و یک فیلتر پایین گذر elliptic درجه ۸ با فرکانس قطع ۳۵ هرتز عبور داده شده و همچنین برای حذف اثر سیگنال تداخلی EOG از EEG، فیلتر غیرخطی ANFIS به کار گرفته شده است. در ضمن سیگنال‌هایی که در طول ثبت آن‌ها، دامنه از حد آستانه‌ی ۱۰۰ میکروولت بالاتر رفته، به‌عنوان داده‌ی غیرمعتبر تلقی شده و در ادامه، به کار برده نشدند. ۲۵۶ نمونه از سیگنال مربوط به لحظه‌ی شروع هر تحریک تا یک ثانیه بعد از آن، برای هر سه کانال ثبت Fz، Cz، Pz جدا شد. به‌منظور استخراج پتانسیل وابسته به رخداد از سیگنال پس‌زمینه‌ی مغزی EEG، تک‌ثبت‌های به دست آمده در هر آزمایش، میانگین‌گیری شده‌اند. در مجموع ۱۲۲ داده‌ی ERP متوسط‌گیری شده، به دست آمد که ۶۱ نمونه مربوط به تحریک قدیم و ۶۱ نمونه مربوط به تحریک جدید بود [۸].

### ۳-۲- استخراج ویژگی

همان‌طور که گفته شد، استخراج ویژگی باید با توجه به خصوصیات سیگنال انجام‌گیرد تا ویژگی‌های به‌دست‌آمده معنادار و قابل بحث و بررسی باشند. تبدیل موجک یک روش تجزیه‌ی بهینه‌ی زمان-فرکانس است [۹] که روی پتانسیل‌های وابسته به رخداد، استفاده شده است [۱۰، ۱۱، ۱۲]. با توجه به این امر، تبدیل موجک که سیگنال را از فضای یک بعدی زمان به فضای جدید دو بعدی زمان-فرکانس منتقل می‌کند، این قابلیت را ایجاد می‌نماید که اطلاعات وابسته به زمان و مرتبط با فرکانس در ERPها استخراج و به دقت اندازه‌گیری شوند [۱۳، ۱۴]. فایده‌ی اصلی تبدیل موجک خاصیت چندتفکیکی<sup>۱</sup> است که پنجره‌های زمانی کوتاه‌تر را برای فرکانس‌های بالاتر و پنجره‌های زمانی طولانی‌تر را برای فرکانس‌های پایین‌تر به

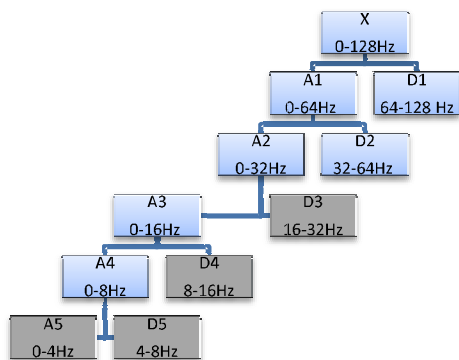
ترکیب و به سوژه، نمایش داده شدند. داده‌ها، از ۲۷ نفر از دانشجویان فنی-مهندسی مرد در محدوده‌ی سنی ۲۰ تا ۲۸ ثبت گردید که همگی دارای بینایی طبیعی یا تصحیح شده بودند. همچنین از تعداد کل سوژه‌ها، ۴ نفر چپ دست بوده‌اند. قبل از انجام آزمایش، مشخصات فردی و سابقه‌ی بیماری و آمادگی سوژه برای انجام آزمایش، سؤال شده، همچنین فرم دستورالعمل انجام آزمایش، توسط فرد مورد مطالعه قرار گرفته بود؛ سپس با نصب الکترودهای نوار مغز EEG بر روی سر، فرد آماده‌ی آزمایش شد. سیگنال‌های مغزی با استفاده از الکترودهای Ag-AgCl مطابق سیستم استاندارد ۱۰-۲۰ و از کانال‌های Cz، Fz و Pz روی خط وسط سر ثبت شده‌اند و اتصال دو گوش نیز به عنوان مرجع در نظر گرفته شده است. برای ثبت زمان‌های پلک‌زدن و حذف اثر آن در سیگنال‌های ثبت‌شده، دو الکترودهای در بالا و پایین چشم راست سوژه نصب شده و ثبت EOG عمودی به‌کمک آن انجام گرفته است. سیگنال‌ها با نرخ ۲۵۶ هرتز نمونه‌برداری شده و جهت پردازش‌های بعدی ذخیره شده‌اند. بر روی هر سوژه ۲ یا ۳ آزمایش انجام‌گرفت که بعضی از آزمایش‌ها به‌دلیل دقت پایین سوژه در پاسخ‌گویی و یا آرتیفکت زیاد، حذف شد [۸].

### ۳ - روش‌های پردازشی

به‌طور کلی در مسائل پردازشی، درگیر ۴ حوزه‌ی پیش‌پردازش، استخراج ویژگی، انتخاب ویژگی و طبقه‌بندی هستیم (شکل ۱). با توجه به خصوصیات مورد کاربرد سیگنال مورد نظر، پیش‌پردازش‌های خاصی جهت آماده نمودن آن برای انجام مراحل بعدی نیاز است. در بحث استخراج ویژگی، تلاش بر این است که بر اساس اطلاعات موجود از منشأ و طبیعت سیگنال، به بررسی وجهی از سیگنال پرداخته شود که بیشترین اطلاعات مورد نیاز در مسئله‌ی مورد نظر را فراهم می‌کند (در واقع به‌گونه‌ای به سیگنال نگاه شود که آن نگاه، ارزشمندترین اطلاعات در کاربرد مورد نظر را به دست دهد). واضح است که در فضای جدید ویژگی‌ها، اطلاعات مفید و ضروری مدّ نظر، با اطلاعات غیرمفید یا هم‌بسته، ترکیب شده‌اند؛ پس نیاز است حداقل اطلاعات مفید و ضروری جهت تفکیک دادگان انتخاب شده و سپس در فاز طبقه‌بندی با توجه به داده‌هایی که در اختیار است، طبقه‌بندی‌کننده‌ی مناسب انتخاب شده و داده‌های دو گروه از یکدیگر تفکیک گردند.

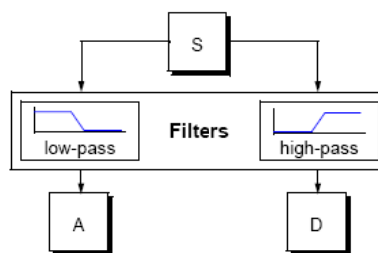
<sup>۱</sup> Multi-resolution

(bior3.9) [۲۱،۲۰،۱۹]، بی اسپیلین (Bspline) [۲۳،۲۲]، لماری (Lemarie) [۲۰،۱۹] و سیملت<sup>۵</sup> (Sym3) [۲۴]. به دلیل اعمال فیلتر بالا گذر اولیه ی ۳۵ هرتز روی سیگنال‌ها، تنها ضرایب مربوط به باندهای فرکانسی A5، D5، D4 و D3 حاوی اطلاعات قابل استفاده هستند. توسط محاسبه میانگین، واریانس و مجموع قدرمطلق ضرایب در باندهای فرکانسی مذکور، ویژگی‌هایی به دست آمده‌اند که بعد از این سیگنال‌ها توسط آن‌ها توصیف می‌شوند [۲۰،۱۹]. به این صورت که  $\mu_{A5}$  برابر با میانگین ضرایب در باند فرکانسی ۴-۰ هرتز،  $\mu_{D5}$  برابر با میانگین ضرایب در باند فرکانسی ۸-۴ هرتز،  $\mu_{D4}$  برابر با میانگین ضرایب در باند فرکانسی ۱۶-۸ هرتز،  $\mu_{D3}$  برابر با میانگین ضرایب در باند فرکانسی ۳۲-۱۶ هرتز،  $\text{var}_{A5}$  برابر با واریانس ضرایب در باند فرکانسی ۴-۰ هرتز،  $\text{var}_{D5}$  برابر با واریانس ضرایب در باند فرکانسی ۴-۸ هرتز،  $\text{var}_{D4}$  برابر با واریانس ضرایب در باند فرکانسی ۸-۱۶ هرتز،  $\text{var}_{D3}$  برابر با واریانس ضرایب در باند فرکانسی ۱۶-۳۲ هرتز،  $\text{sum}_{A5}$  برابر با مجموع قدرمطلق ضرایب در باند فرکانسی ۴-۰ هرتز،  $\text{sum}_{D5}$  برابر با مجموع قدرمطلق ضرایب در باند فرکانسی ۴-۸ هرتز،  $\text{sum}_{D4}$  برابر با مجموع قدرمطلق ضرایب در باند فرکانسی ۸-۱۶ هرتز و  $\text{sum}_{D3}$  برابر با مجموع قدرمطلق ضرایب در باند فرکانسی ۱۶-۳۲ هرتز می‌باشد. در نتیجه ۱۲ ویژگی برای هر کانال به دست آمد که در جدول (۱) به اختصار قابل مشاهده هستند.



شکل (۳): نمایش ۵ سطح تجزیه ی مورد نیاز. در این تحقیق، با توجه به محتویات فرکانسی سیگنال، از باندهای فرکانسی A5، D5، D4 و D3 استفاده می‌شود که بلوک‌های مربوط به آن‌ها با رنگ خاکستری مشخص شده‌اند.

کار می‌گیرد، مشخصه‌ای که به دقت با خصوصیت‌های ساختاری سیگنال‌های ERP مطابق است [۱۷،۱۶،۱۵]. در این تحقیق از تبدیل موجک گسسته جهت استخراج ویژگی استفاده شده است. همان‌گونه که در شکل (۲) می‌بینیم، در تبدیل موجک گسسته، در اولین سطح تجزیه، سیگنال مورد نظر از دو فیلتر پایین و بالاگذر عبور می‌نماید. بخش‌هایی که از فیلترهای پایین و بالاگذر عبور نموده‌اند به ترتیب، تقریب<sup>۱</sup> و جزئیات<sup>۲</sup> سیگنال را به وجود می‌آورند که بخش تقریب، حاوی قسمت فرکانس پایین سیگنال و بخش جزئیات حاوی قسمت فرکانس بالای سیگنال می‌باشد.



شکل (۲): نمایش اولین سطح تجزیه سیگنال S به قسمت‌های تقریب A و جزئیات D. بخش A و D به ترتیب پس از عبور از فیلتر پایین و بالاگذر تولید شده‌اند.

در سطوح بعدی، تنها بخش تقریب‌زده شده از فیلترهای مربوطه عبور می‌نماید و این تجزیه تا سطح دلخواه ادامه یافته و ضرایب مورد نظر به دست می‌آیند [۱۸].

### ۳-۲-۱- اعمال موجک گسسته روی دادگان

همان‌گونه که در شکل (۳) نشان داده شده، در این تحقیق با اعمال تبدیل موجک روی سیگنال‌ها، آن‌ها را تا ۵ سطح تجزیه نموده و ضرایب مربوط به D5، D4، D3، D2، D1 و A5 به دست آمده‌اند (با توجه به اینکه فرکانس نمونه‌برداری ۲۵۶ هرتز بوده است بر اساس قضیه نایکوئیست، سیگنال نمونه‌برداری شده حاوی فرکانس‌های ۰ تا ۱۲۸ هرتز می‌باشد).

تبدیل موجک گسسته با موجک‌های متفاوت که در تحقیقات مختلف، جهت تحلیل سیگنال ERP استفاده شده‌اند، جهت بررسی اثر نوع موجک در نتایج به دست آمده روی سه کانال اعمال شد. موجک‌های استفاده شده عبارتند از: د/بیچیز<sup>۳</sup> ۴ (db4) [۲۱،۲۰،۱۹]، بای/ورتوگونال<sup>۴</sup> ۳/۹

<sup>1</sup> Approximation

<sup>2</sup> Detail

<sup>3</sup> Daubechies

<sup>4</sup> Biorthogonal

<sup>5</sup> Symlet

جدول (۱): ویژگی‌های به دست آمده در هر کانال

باند فرکانسی ویژگی	۴-۰ هرتز (A5)	۸-۴ هرتز (D5)	۱۶-۸ هرتز (D4)	۳۲-۱۶ هرتز (D3)
میانگین ضرایب باند	$\mu_{A5}$	$\mu_{D5}$	$\mu_{D4}$	$\mu_{D3}$
واریانس ضرایب باند	$var_{A5}$	$var_{D5}$	$var_{D4}$	$var_{D3}$
مجموع قدرمطلق ضرایب باند	$sum_{A5}$	$sum_{D5}$	$sum_{D4}$	$sum_{D3}$

سپس با فرض برابر بودن واریانس‌های دو گروه، معیار  $t$ ، بر اساس رابطه‌ی (۱) به دست می‌آید.

$$t = \frac{\bar{X}_1 - \bar{X}_2}{Sp \sqrt{\frac{1}{n_1} + \frac{1}{n_2}}} \quad (1)$$

که در آن  $Sp$  از رابطه (۲) قابل محاسبه است.

$$Sp = \sqrt{\frac{(n_1 - 1)S_1^2 + (n_2 - 1)S_2^2}{n_1 + n_2 - 2}} \quad (2)$$

برای هر مقدار  $t$ ، احتمال مربوط به آن از نمودار توزیع  $t$  به دست می‌آید، اگر این احتمال از  $0.05$  کمتر بود، فرضیه‌ی صفر رد شده و دو گروه، به‌طور معناداری توسط آن ویژگی از یکدیگر تفکیک پذیرند؛ در غیر این صورت، ویژگی مورد نظر، تفاوت معناداری بین دو گروه ایجاد نمی‌کند [۲۵]. قدرمطلق  $t$  به دست آمده برای هر ویژگی، معیاری برای میزان تفکیک‌پذیری دو گروه بر اساس آن ویژگی است. با این معیار، ویژگی‌ای تفکیک‌کننده‌تر است که مقدار قدرمطلق  $t$  آن بزرگتر یا مقدار  $p$  آن کوچک‌تر باشد. در این جا بر اساس معیار  $t$ ، در هر کانال، تعدادی از ویژگی‌ها که تفکیک‌کننده‌ترین‌ها هستند، انتخاب می‌شوند.

### ۳-۳-۱-۲ استفاده از تحلیل تفکیکی قدم به قدم

#### جهت یافتن بهترین دسته ویژگی

در تحلیل تفکیکی قدم به قدم<sup>۲</sup> که با استفاده از نرم افزار SPSS انجام شد، بهترین دسته ویژگی که بیشترین دقت در تفکیک دو گروه توسط طبقه‌بندی‌کننده آنالیز تفکیک خطی را به وجود می‌آورد، انتخاب می‌شود. در این روش، که بر اساس یک معیار مشخص برای مثال فاصله مالهالانوبیس<sup>۳</sup> انجام می‌گیرد، برای ورود و خروج ویژگی‌ها در دسته ویژگی، مقدارهای مشخصی از معیار مربوطه تعریف می‌شود که برای هر ویژگی، اگر مقدار معیار مربوطه برای ویژگی مورد نظر از حد آستانه‌ی مشخصی بیشتر بود، ویژگی، وارد دسته ویژگی

### ۳-۲-۲ انتخاب موجک مناسب روی هر کانال

در این بخش به دنبال یافتن بهترین موجک در هر کانال هستیم. از ۱۲ ویژگی به دست آمده روی هر یک از سه کانال پس از اعمال موجک‌های ذکر شده در بخش ۳-۲-۱، جهت یافتن بهترین موجک تفکیک‌کننده دو گروه استفاده شد. به این صورت که در هر یک از کانال‌ها ویژگی‌های مربوطه پس از تبدیل موجک توسط موجک‌های مختلف روی سیگنال مورد نظر استخراج شده سپس طبقه‌بندی با استفاده از آنالیز تفکیک خطی انجام شده است. موجکی که در هر کانال بهترین تفکیک را ایجاد نمود، در تحلیل‌های بعدی به کار گرفته شد.

### ۳-۳ انتخاب ویژگی

انتخاب ویژگی در دو سطح تک‌کانال و مجموع سه کانال انجام شده است.

### ۳-۳-۱ انتخاب ویژگی روی تک کانال‌ها

جهت انتخاب ویژگی‌های مناسب از دو روش آزمون  $t$  و تحلیل تفکیکی قدم به قدم استفاده شده است.

### ۳-۳-۱-۱ استفاده از معیار $t$ روی هر کانال

آزمون  $t$ ، محکی است برای سنجش تفکیک‌پذیری دو گروه که خروجی آن مقادیر  $t$  و  $p$  هستند. در این آزمون تمایزپذیری<sup>۱</sup> دو گروه براساس ویژگی مورد نظر آزموده می‌شود. به این صورت که در ابتدا فرضیه‌ای به نام فرضیه‌ی صفر در نظر گرفته می‌شود و در آن با احتمال  $0.05$  فرض می‌شود که دو گروه، به‌طور معناداری قابل تمایز نیستند.

<sup>2</sup> Stepwise Linear Discriminant Analysis

<sup>3</sup> Mahalanobis distance

<sup>1</sup> Discriminability

$$d = \mathbf{w}^T \mathbf{v} + w_0 \quad (3)$$

که بردار  $w$ ، بردار وزن است و  $w_0$ ، بایاس یا آستانه نامیده می‌شود. حال، مقادیر  $d$  مثبت و منفی به ترتیب به این معنا است که طبقه‌بندی‌کننده نمونه‌ی مورد نظر را به گروه یک یا دو نسبت داده است [۲۶].

در این تحقیق ارزیابی طبقه‌بندی‌کننده با روش 10-Times, 10-Fold انجام شده است. به این صورت که در هر بار طبقه‌بندی به‌طور تصادفی، ۹۰ درصد از داده‌ها برای آموزش و ۱۰ درصد برای آزمون انتخاب شدند؛ صحت طبقه‌بندی روی داده‌های آموزش و آزمون به دست آمد؛ در دور بعدی، ۹۰ درصد و ۱۰ درصد دیگری به‌طور تصادفی انتخاب شدند و درصدهای صحت مجدداً به دست آمدند و همین‌طور دورهای بعدی تا ۱۰ بار این محاسبه انجام شد. در نهایت روی مقادیر ۱۰ حالت میانگین‌گیری انجام و نتایج گزارش شدند.

#### ۴ - نتایج

همان‌طور که گفته شد براساس ثبت‌های موجود، دو گروه سیگنال‌های مربوط به تصاویر قدیم و جدید موجود است. میانگین ۶۱ سیگنال دو گروه جدید و قدیم به دست آمده روی سه کانال  $Pz$ ،  $Cz$  و  $Fz$  را می‌توان در شکل (۴) مشاهده نمود.

#### ۴-۱-۱ بررسی نتایج تک کانال‌ها

۴-۱-۱-۱ استفاده از کلیه‌ی ویژگی‌های به دست آمده از

##### تک کانال‌ها

نتایج طبقه‌بندی روی تک کانال‌های  $Fz$ ،  $Cz$  و  $Pz$  توسط ۱۲ ویژگی مطرح شده در قسمت ۳-۲-۱ به ترتیب در جداول (۲) تا (۴) آمده است. بر اساس این نتایج، در کانال‌های  $Fz$  و  $Cz$ ، موجک بای‌اورتوگونال  $3/9$  و در کانال  $Pz$ ، موجک دابیچیز ۴، بهترین نتایج طبقه‌بندی را دارا هستند.

شده ولی اگر از آستانه‌ی مشخص دیگر کوچکتر بود، ویژگی از دسته‌ویژگی خارج می‌شود. این روش برای هر سه کانال اجرا شده است.

#### ۳-۳-۲ انتخاب ویژگی روی مجموع سه کانال

در این بخش، سه سری ویژگی ۱۲ تایی به دست آمده از بهترین موجک‌ها در هر کانال با یکدیگر ترکیب و ویژگی‌های بهینه از بین آن‌ها انتخاب شده‌اند.

#### ۳-۳-۱ استفاده از معیار $t$

در روش اول که طبقه‌بندی بر اساس معیار  $t$  است، تعدادی ویژگی‌ها را که طبق این معیار تفکیک‌کننده‌ترین ویژگی‌ها هستند، انتخاب می‌نماییم. در اینجا از میان ۳۶ ویژگی، ۶ ویژگی که مقدار  $t$  بزرگتری نسبت به سایر ویژگی‌ها دارد، برگزیده شده و در طبقه‌بندی به کار گرفته می‌شوند.

#### ۳-۳-۲ استفاده از آنالیز تفکیکی قدم به قدم

در روش دوم، از آنالیز تفکیکی قدم به قدم استفاده گردید که در آن، از میان ۳۶ ویژگی به دست آمده از ۳ کانال، یک دسته ویژگی بهینه حاصل شد و طبقه‌بندی با استفاده از آن انجام گرفت.

#### ۳-۴ طبقه‌بندی‌کننده

طبقه‌بندی‌کننده‌ها، جهت تعیین گروه هر نمونه به کار می‌روند که در انواع مختلف خطی و غیرخطی موجودند. در این تحقیق از طبقه‌بندی‌کننده‌ی آنالیز تفکیکی خطی<sup>۱</sup> استفاده شده است. این طبقه‌بندی‌کننده یکی از پرکاربردترین و در عین حال ساده‌ترین طبقه‌بندی‌کننده‌ها می‌باشد که به دلیل پیاده‌سازی آسان و عدم نیاز به تنظیم پارامترهای مختلف، معمولاً از اولین گزینه‌های پیشنهادی برای طبقه‌بندی است.

در آنالیز تفکیکی خطی، بردار ویژگی نمونه‌ها که  $v$  نام دارد و در فضای  $v$  بعدی تعریف می‌شود، توسط یک تبدیل خطی به مقدار اسکالر  $d$  در فضای یک‌بعدی تصویر می‌گردد. این کار توسط ضرب برداری زیر انجام می‌گیرد:

<sup>۱</sup> Linear Discriminant Analysis

انتخاب شده و طبقه‌بندی با استفاده از آن‌ها انجام گرفت. در هر کانال معیار  $t$  برای ویژگی‌های به‌دست‌آمده از بهترین موجک که در قسمت ۴-۱-۱ معرفی شد، استفاده گردیده است. مقادیر  $t$  و  $p$  مربوط به ویژگی‌های مختلف برای کانال‌های  $Fz$ ،  $Cz$  و  $Pz$  نیز در نمودارهای شکل (۵) مشخص شده است.

#### ۴-۱-۳ استفاده از آنالیز تفکیکی قدم به قدم

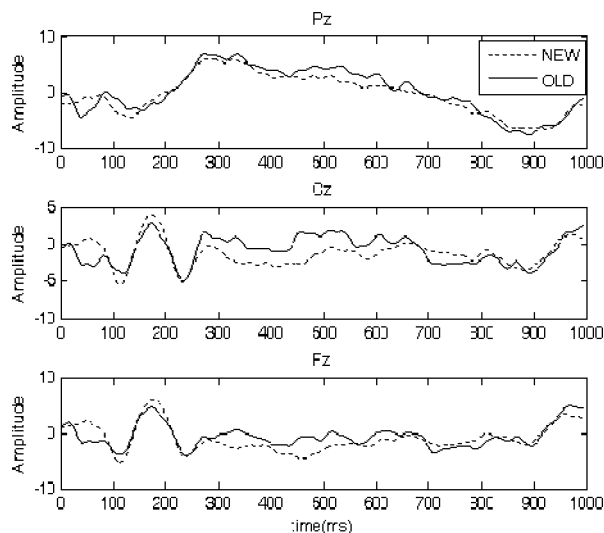
نتایج آنالیز تفکیکی قدم به قدم با هدف انتخاب بهترین دسته ویژگی در این بخش بررسی شده است. جهت مقایسه درصد‌های تفکیک روش معیار  $t$  با نتایج آنالیز تفکیکی قدم به قدم، تعداد ویژگی‌های انتخابی روش معیار  $t$  برابر با تعداد ویژگی‌های انتخابی در آنالیز تفکیکی قدم به قدم قرار داده شده است. نتایج به‌دست‌آمده از کانال‌های  $Fz$ ،  $Cz$  و  $Pz$  در کنار نتایج حاصل از تحلیل تفکیکی قدم به قدم در جداول (۵) تا (۷) آمده است.

جدول (۵): مقایسه نتایج طبقه‌بندی تک کانال  $Fz$  با موجک بای‌اور توگونال  $3/9$ ، با طبقه‌بندی‌کننده  $LDA$  توسط انتخاب ویژگی‌ها با معیار  $t$  در برابر انتخاب دسته ویژگی با روش آنالیز تفکیکی قدم به قدم (اعداد داخل پرانتز، اولویت و ویژگی‌ها را نشان می‌دهند)

روش انتخاب ویژگی	ویژگی‌های انتخاب شده	درصد صحت آزمون			درصد صحت آموزش میانگین
		گروه قدیم	گروه جدید	میانگین	
استفاده از معیار $t$	$\sum_{D3}^{(3)}$	٪۷۷	٪۹۱/۸	٪۸۴/۴	٪۸۶/۱
	$\sum_{D3}^{(1)}$				
آنالیز تفکیکی قدم به قدم	$var_{D3}$	٪۸۵/۲	٪۸۶/۹	٪۸۶/۱	٪۸۶/۱
	$\sum_{D3}$				

جدول (۶): مقایسه نتایج طبقه‌بندی تک کانال  $Cz$  با موجک بای‌اور توگونال  $3/9$ ، با طبقه‌بندی‌کننده  $LDA$  توسط انتخاب ویژگی‌ها با معیار  $t$  در برابر انتخاب دسته ویژگی با روش آنالیز تفکیکی قدم به قدم (اعداد داخل پرانتز، اولویت و ویژگی‌ها را نشان می‌دهند)

روش انتخاب ویژگی	ویژگی‌های انتخاب شده	درصد صحت آزمون			درصد صحت آموزش میانگین
		گروه قدیم	گروه جدید	میانگین	
استفاده از معیار $t$	$\sum_{D3}^{(3)}$	٪۸۳/۶	٪۸۶/۹	٪۸۵/۲	٪۸۵/۲
	$\sum_{D3}^{(1)}$				
آنالیز تفکیکی قدم به قدم	$var_{D3}$	٪۸۳/۶	٪۸۶/۹	٪۸۵/۲	٪۸۵/۲
	$\sum_{D3}$				



شکل (۴): نمایش متوسط سیگنال‌های دو گروه در هر کانال

جدول (۲): نتایج طبقه‌بندی تک کانال  $Fz$  توسط ۱۲ ویژگی به دست آمده با طبقه‌بندی‌کننده  $LDA$

موجک	درصد صحت آزمون			درصد صحت آموزش میانگین
	گروه قدیم	گروه جدید	میانگین	
Db4	٪۸۷/۳	٪۸۵	٪۸۶/۱	٪۹۰/۷
lemarie	٪۸۲/۳	٪۸۸/۵	٪۸۵/۴	٪۸۸
bior3.9	٪۸۴/۷	٪۹۱/۳	٪۸۸	٪۹۱/۸
B_spline	٪۷۸/۹	٪۸۹/۲	٪۸۴/۱	٪۸۸/۳
sym3	٪۶۶/۶	٪۸۳/۳	٪۷۵	٪۸۶/۳

جدول (۳): نتایج طبقه‌بندی تک کانال  $Cz$  توسط ۱۲ ویژگی به دست آمده با طبقه‌بندی‌کننده  $LDA$

موجک	درصد صحت آزمون			درصد صحت آموزش میانگین
	گروه قدیم	گروه جدید	میانگین	
Db4	٪۷۷/۶	٪۹۰	٪۸۳/۸	٪۸۹/۴
lemarie	٪۸۱	٪۸۵/۳	٪۸۳/۱	٪۸۹/۵
bior3.9	٪۸۳/۵	٪۹۱/۳	٪۸۷/۴	٪۸۶/۷
B_spline	٪۸۴/۲	٪۷۸/۱	٪۸۱/۲	٪۸۷/۹
sym3	٪۷۵	٪۸۷/۵	٪۸۱/۲	٪۸۷/۳

جدول (۴): نتایج طبقه‌بندی تک کانال  $Pz$  توسط ۱۲ ویژگی به دست آمده با طبقه‌بندی‌کننده  $LDA$

موجک	درصد صحت آزمون			درصد صحت آموزش میانگین
	گروه قدیم	گروه جدید	میانگین	
Db4	٪۸۷/۳	٪۸۴/۷	٪۸۶	٪۹۱/۵
lemarie	٪۷۶/۹	٪۸۷/۹	٪۸۲/۴	٪۸۷/۲
bior3.9	٪۸۲/۳	٪۸۶/۹	٪۸۴/۸	٪۸۸
B_spline	٪۸۴	٪۸۴/۸	٪۸۴/۴	٪۹۰/۹
sym3	٪۷۲	٪۸۴	٪۷۸	٪۸۳/۷

#### ۴-۱-۲ انتخاب ویژگی بر اساس معیار $t$

در این بخش همان‌طور که در قسمت ۳-۱-۳ بیان شد، تعدادی از ویژگی‌ها که بزرگترین مقادیر  $t$  را دارا هستند،

جدول (۷): مقایسه نتایج طبقه‌بندی تک کانال Pz با موجک دابپچیز ۴، با طبقه‌بندی‌کننده LDA توسط انتخاب ویژگی‌ها با معیار t در برابر انتخاب دسته ویژگی با روش آنالیز تفکیکی قدم به قدم (اعداد داخل پرانتز، اولویت ویژگی‌ها را نشان می‌دهند)

روش انتخاب ویژگی	ویژگی‌های انتخاب‌شده	درصد صحت آزمون			درصد صحت آموزش میانگین
		گروه قدیم	گروه جدید	میانگین	
استفاده از معیار t	$\sum D_4$	٪۸۳/۶	٪۹۱/۸	٪۸۷/۷	٪۸۷/۷
	$\text{var} D_3$				
	$\sum D_3$				
آنالیز تفکیکی قدم به قدم	$\mu D_4$	٪۸۶/۹	٪۹۰/۲	٪۸۸/۵	٪۸۸/۵
	$\text{var} D_3$				
	$\sum D_3$				

همان‌طور که در جداول ذکر شده مشخص است، در کانال‌های Fz، Cz و Pz، به ترتیب ۲، ۳ و ۲ ویژگی استخراج شد و نتایج، اختلاف بسیار کوچکی بین دو روش انتخاب ویژگی در تک کانال‌ها نشان دادند.

#### ۲-۴ بررسی نتایج ترکیب سه کانال

در ترکیب ویژگی‌های سه کانال، ۱۲ ویژگی مربوط به بهترین موجک‌ها از هر کانال با توجه به نتایج تک کانال‌ها استفاده شده است.

#### ۱-۲-۴ انتخاب ویژگی بر اساس معیار t

در این حالت، مجموع ۳۶ ویژگی مذکور در آزمون t شرکت می‌کنند. مقادیر معیار t مربوط به سه کانال در شکل (۶) نشان داده شده است. حال می‌توان با توجه به معیار t، تفکیک‌کننده‌ترین ویژگی‌هایی که در طبقه‌بندی شرکت می‌نمایند را انتخاب کرد. نتایج درصد‌های صحت مربوط به ۶ ویژگی انتخاب شده توسط معیار t در جدول (۸) قابل مشاهده است.

جدول (۸): نتایج طبقه‌بندی سه کانال، انتخاب ویژگی‌ها با معیار t انجام شده. موجک دابپچیز ۴ در کانال Pz و موجک بای اور توگونال ۳/۹ در کانال Cz و Fz استفاده شده است.

ویژگی‌های انتخاب‌شده	کانال	درصد صحت آزمون			درصد صحت آموزش میانگین
		گروه قدیم	گروه جدید	میانگین	
$\text{var} D_3$	Pz				٪۸۹/۳
		$\sum D_3$			
		$\sum D_3$			
$\text{var} D_3$	Cz				٪۸۹/۳
		$\sum D_3$	٪۸۸/۵	٪۹۰/۲	
		$\sum D_3$			
$\sum D_3$	Fz				٪۸۹/۳
		$\sum D_3$			
		$\sum D_3$			

#### ۲-۲-۴ استفاده از آنالیز تفکیکی قدم به قدم

تعداد ۳۶ ویژگی سه کانال توسط آنالیز تفکیکی قدم به قدم، به ۶ ویژگی برای انجام طبقه‌بندی کاهش پیدا می‌کند. نتایج

به‌دست‌آمده از آنالیز تفکیکی قدم به قدم توسط دسته ویژگی ۶ تایی انتخاب شده در جدول (۹) آمده است. در مجموع سه کانال، مشاهده می‌شود که با اختلاف اندکی، روش معیار t، نتایج بهتری نسبت به تحلیل تفکیکی قدم به قدم دارد.

جدول (۹): نتایج طبقه‌بندی سه کانال توسط آنالیز تفکیکی قدم به قدم. موجک دابپچیز ۴ در کانال Pz و موجک بای اور توگونال ۳/۹ در کانال Cz و Fz استفاده شده است.

ویژگی‌های انتخاب‌شده	کانال	درصد صحت آزمون			درصد صحت آموزش میانگین
		گروه قدیم	گروه جدید	میانگین	
$\mu D_5$	Pz				٪۸۸/۵
		$\sum D_3$			
$\text{var} D_3$	Cz				٪۸۸/۵
		$\sum D_3$	٪۸۶/۹	٪۸۸/۵	
$\mu D_5$	Fz				٪۸۸/۵
		$\sum D_3$			

#### ۲-۲-۴ طبقه‌بندی توسط کل ویژگی‌های سه کانال

نتایج طبقه‌بندی توسط طبقه‌بندی‌کننده خطی بدون به‌کارگیری روش‌های انتخاب ویژگی، و توسط کل ۳۶ ویژگی سه کانال در جدول (۱۰) آمده است.

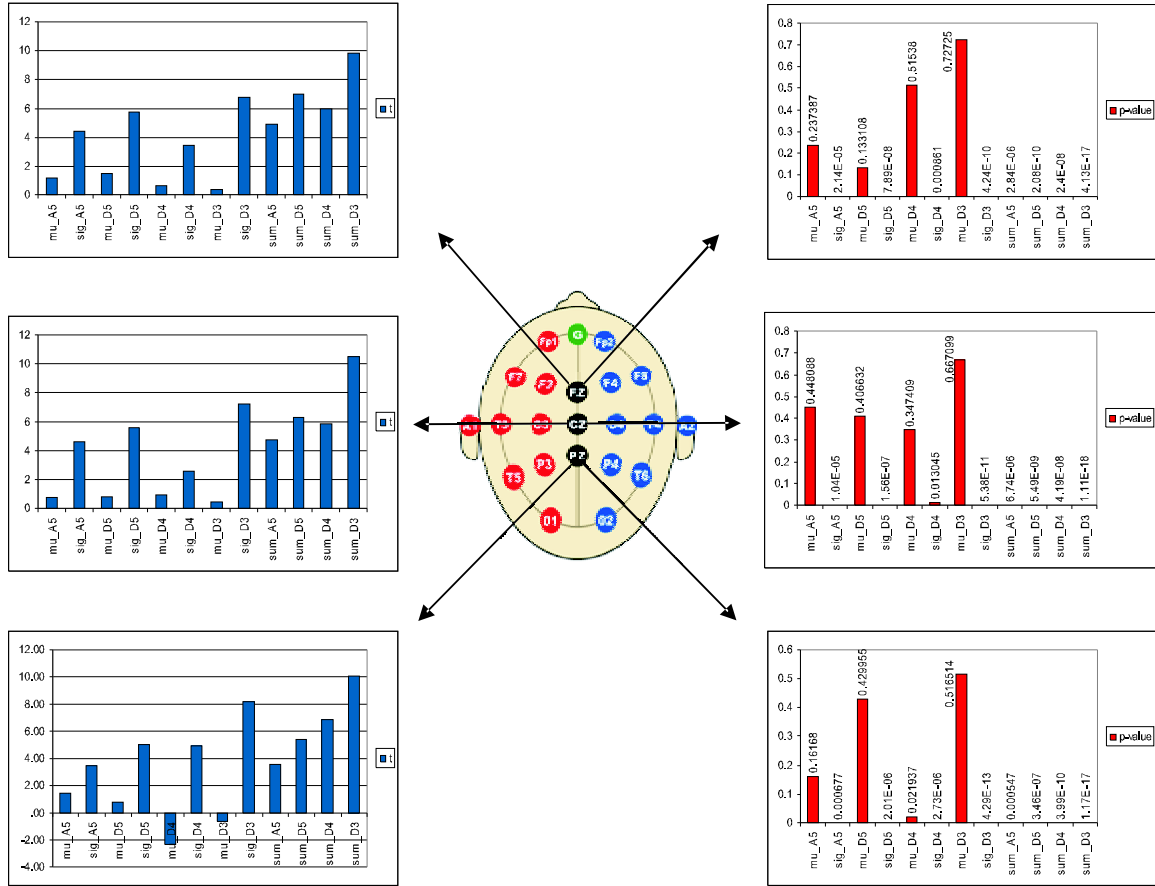
جدول (۱۰): نتایج طبقه‌بندی توسط کل ۳۶ ویژگی سه کانال. موجک دابپچیز ۴ در کانال Pz و موجک بای اور توگونال ۳/۹ در کانال Cz و Fz استفاده شده است.

درصد صحت آموزش میانگین	درصد صحت آزمون		
	گروه قدیم	گروه جدید	میانگین
٪۹۴/۳	٪۷۵/۴	٪۸۵/۲	٪۸۰/۳

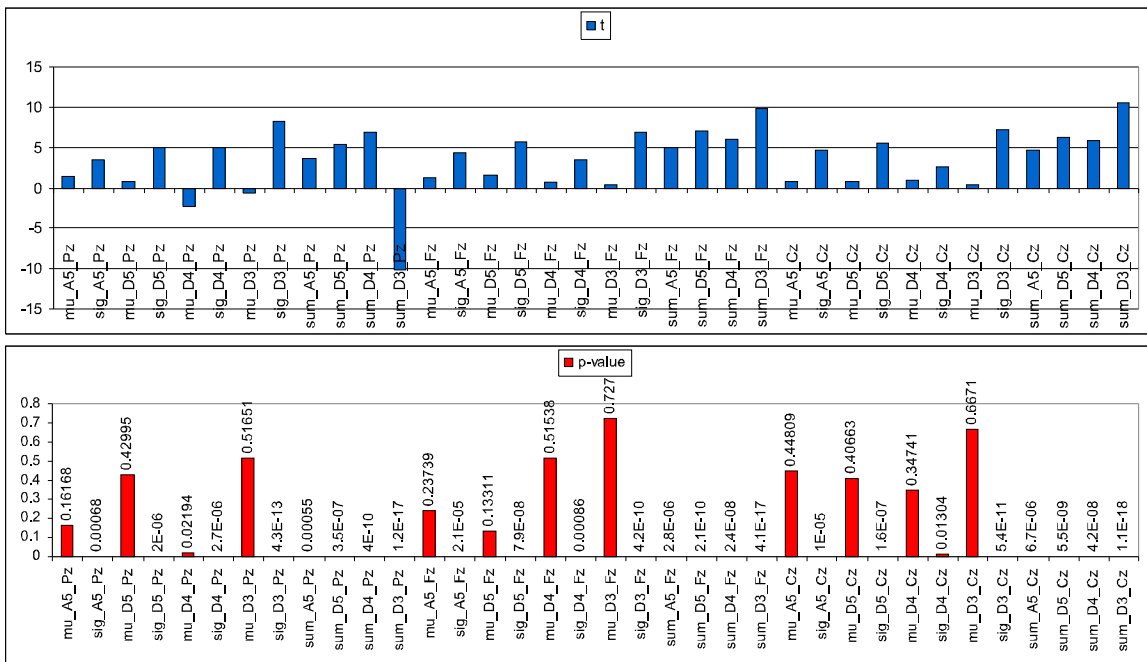
### ۵ - بحث و نتیجه‌گیری

در این مطالعه، تلاش بر این بود که توسط ویژگی‌های معرفی‌شده که بر پایه‌ی ضرایب تبدیل موجک گسسته‌ی پتانسیل‌های وابسته به رخداد به‌دست می‌آیند، بین سیگنال‌های ثبت‌شده‌ی مربوط به مشاهده‌ی تصاویر جدید و قدیم، تفکیک مناسبی ایجاد شود. جهت رسیدن به این هدف، کار در چندین مرحله انجام گرفت.

در بخش ۴-۱-۱، کل ویژگی‌های مربوط به هر کانال به‌طور جداگانه مورد توجه قرار گرفت و سعی بر این بود که بهترین موجک تفکیک‌کننده در هر کانال به‌دست‌آید. در جداول (۲) تا (۴) دیده می‌شود که با اعمال موجک‌های متفاوت روی سه کانال، موجک مناسب برای هر کانال مشخص شد.



شکل (۵): مقادیر معیار  $t$  به همراه مقادیر  $p$  مربوطه برای ۱۲ ویژگی مربوط به هر کانال. موجک بای اور توگونال ۳/۹ در کانال  $Fz$  و  $Cz$  و موجک دابیجیز ۴ در کانال  $Pz$  استفاده شده است. نمودارهای سمت چپ، مقادیر  $t$  و نمودارهای سمت راست، مقادیر  $p$  را به ترتیب روی کانال‌های  $Fz$ ,  $Cz$  و  $Pz$  نشان می‌دهند.



شکل (۶): مقادیر معیار  $t$  و  $p$  برای ۳۶ ویژگی از مجموع سه کانال در کنار یکدیگر. موجک دابیجیز ۴ در کانال  $Pz$  و بای اور توگونال ۳/۹ در کانال‌های  $Fz$  و  $Cz$  استفاده شده است. نمودار بالا مربوط به مقادیر  $t$  و نمودار پایین مربوط به مقادیر  $p$  متناظر با آن‌ها می‌باشد.

همان‌گونه که در شکل (۴) مشخص است، برای کانال‌های Fz و Cz که شکل کلی میانگین‌های مشابهی دارند، موجک یکسانی به‌عنوان موجک برتر انتخاب شده درحالی‌که موجک انتخابی برای کانال Pz، که نمودار میانگین متمایزی دارد، متفاوت از دو کانال دیگر به دست آمد.

در بخش ۴-۱-۲ و ۴-۱-۳، با توجه به این‌که بهترین موجک‌ها برای هر کانال در قسمت قبل به‌دست‌آمده بود، با دست داشتن موجک مربوطه و کانال مورد نظر، از معیار  $t$  و آنالیز تفکیکی قدم به قدم جهت انتخاب بهترین ویژگی‌ها استفاده گردید. نتایج این دو روش در مقایسه با یکدیگر در مورد سه کانال در جداول (۵) تا (۷) بررسی شد. در جدول (۵) که نتایج مربوط به کانال Fz دیده می‌شود، آنالیز تفکیکی قدم به قدم تفکیک مناسب‌تری نسبت به معیار  $t$  ایجاد نموده است، زیرا درصدهای صحت گروه‌های جدید و قدیم به یکدیگر نزدیک‌ترند و در ضمن درصد صحت میانگین نیز در آموزش و آزمون بالاتر می‌باشد. از دو ویژگی انتخاب‌شده،  $\text{sumD}_3$  در هر دو روش مشترک است. جدول (۶) نتایج کانال Cz را بررسی می‌نماید. دو ویژگی انتخاب‌شده توسط دو روش یکسان بود، در نتیجه، به درصدهای یکسانی نیز منجر شد. در جدول (۷) که نتایج کانال Pz را نشان می‌دهد، ملاحظه می‌شود که با سه ویژگی انتخاب‌شده، آنالیز تفکیکی قدم به قدم بهتر از معیار  $t$  عمل نمود زیرا علاوه بر این‌که درصدهای صحت طبقه‌بندی دو گروه به یکدیگر نزدیک‌ترند، میانگین آموزش و آزمون نیز با این روش، بالاتر از روش معیار  $t$  به دست آمد.

در بخش ۴-۲، که طبقه‌بندی با ترکیب ویژگی‌های سه کانال انجام گرفت، بر خلاف نتایج تک کانال، انتخاب ویژگی با معیار  $t$ ، به نتایج طبقه‌بندی بالاتری نسبت به آنالیز تفکیکی قدم به قدم منجر شد. این امر در مقایسه‌ی جدول‌های (۸) و (۹) مشهود است. در واقع، کنار هم قرارگرفتن ویژگی‌هایی که معیار  $t$  انتخاب‌نموده، در ترکیب سه کانال، بهتر از آنالیز تفکیکی قدم به قدم عمل نمود.

همچنین در این بخش با مقایسه‌ی جدول (۱۰) با جداول (۸) و (۹) مشاهده می‌نماییم که طبقه‌بندی با استفاده از کل ۳۶ ویژگی مربوط به سه کانال، منجر به افزایش حدوداً ۶ درصدی صحت طبقه‌بندی داده‌های آموزش و کاهش حدوداً ۸ درصدی صحت طبقه‌بندی داده‌های آزمون نسبت به حالت طبقه‌بندی پس از انتخاب ویژگی گردید؛ به این معنا که طبقه‌بندی دو گروه با تعداد زیاد ویژگی‌ها که بسیاری از آن‌ها با یکدیگر همبسته هستند،

نسبت به حالت طبقه‌بندی با دسته ویژگی بهینه، قابلیت تعمیم‌پذیری<sup>۲۷</sup> کمتری دارد زیرا طبقه‌بندی‌کننده، داده‌های آموزش را با تعداد زیاد ویژگی‌ها با صحت بالایی تفکیک می‌نماید درحالی‌که قادر نیست داده‌های آزمون مربوط به دو گروه که آنها را ندیده، با دقت بالایی از یکدیگر جدا نماید.

نکته‌ی قابل‌توجه در انتخاب ویژگی‌ها این است که ویژگی  $\text{sumD}_3$ ، در همه‌ی کانال‌ها و همه‌ی روش‌ها به‌عنوان ویژگی برتر انتخاب شد و ویژگی  $\text{varD}_3$  نیز در بیش از نیمی از موارد، جزء ویژگی‌های انتخاب‌شده بود. در این رابطه دو مسأله قابل بحث است. اول این‌که باند فرکانسی ۱۶ تا ۳۲ هرتز که آن را D3 نامیده‌ایم و با باند بتا مطابق است، تفکیک‌کننده‌ترین باند فرکانسی است؛ زیرا در همه‌ی کانال‌ها و همه‌ی حالت‌ها انتخاب شده است. با توجه به شکل (۴) به نظر می‌رسد که سیگنال‌های قدیم در همه‌ی کانال‌ها فرکانس بالاتر از سیگنال‌های جدید باشند؛ زیرا نوسانات فرکانس بالایشان بیشتر است و به‌دلیل اعمال فیلتر اولیه، می‌توان اظهار داشت باند بتا تفکیک‌کننده‌ترین باند است. به‌عبارت دیگر شکل کلی یا تغییرات کلی سیگنال‌های دو گروه جدید و قدیم با یکدیگر یکی است، پس می‌توان گفت در فرکانس‌های پایین، شبیه به یکدیگر عمل می‌کنند. اما در تغییرات جزئی، دو گروه با یکدیگر متفاوتند و به‌نظر می‌رسد سیگنال‌های گروه قدیم، در فرکانس‌های بالا قوی‌تر از گروه جدید عمل می‌نمایند؛ پس طبیعی است که بیشترین اختلاف بین دو گروه در باند فرکانسی بتا دیده شود. ویژگی  $\text{sumD}_3$  مبین انرژی ضرایب در باند بتا است و همان‌طور که گفته شد در مجموع، تفکیک‌کننده‌ترین ویژگی است، به این معنا که انرژی باند بتا به‌طور معناداری در سیگنال‌های گروه قدیم از گروه جدید بیشتر است. درخصوص  $\text{varD}_3$  نیز می‌توان گفت که پراکندگی ضرایب باند بتا در بیش از نیمی از موارد در گروه قدیم به‌طور معناداری از گروه جدید بیشتر بوده و توانسته به‌عنوان دومین ویژگی تفکیک‌کننده‌ترین ظاهر شود، پس می‌توان گفت که باند بتا تفکیک‌کننده‌ترین باند در میان سایر باندها و انرژی ضرایب، تفکیک‌کننده‌ترین پارامتر در میان پارامترهای دیگر بود. درنهایت با استفاده از ویژگی‌های معرفی‌شده، در بهترین حالت که با ترکیب ویژگی‌های زمان-فرکانس سه کانال ایجاد شد، با درصد درستی ۸۹/۳٪ در آزمون، دو گروه از یکدیگر تفکیک شدند.

<sup>27</sup> Generalization

- [14] Quiroga, R. Q., Sakowitz, O. W., Basar, E., Schurmann, M., "Wavelet transform in the analysis of frequency composition of evoked potentials", *Brain Research Protocols*, 2001, vol. 8, pp. 16-24.
- [15] Polich, J., "Updating P300: An integrative theory of P3a and P3b", *ELSEVIER Trans, Clinical Neurophysiology*, 2007, vol. 118, pp. 2128-2148.
- [16] Ademoglu, A., Demiralp, T., Yordanova, J., Kolev, V., Devrim, M., "Decomposition of event-related brain potentials into multicomponents using wavelet transform", *Appl Signal Process* 1998, vol. 5, pp. 142-151.
- [17] Samar, VJ., Swartz, KP., Raghuvveer, MR., "Multi-resolution analysis of event related potentials by wavelet decomposition", *Brain Cognition* 1995, vol. 27, pp. 398-438.
- [18] Qian, S., "Introduction to Time-Frequency and Wavelet Transforms", Prentice Hall Inc., 2002, ch. 5.
- [۱۹] شبیهی، شبیر، "طبقه‌بندی افراد مستعد به الکلیسم و افراد غیر مستعد با استفاده از پتانسیل‌های وابسته به رخداد" پایان‌نامه‌ی کارشناسی ارشد مهندسی پزشکی، دانشگاه آزاد اسلامی واحد علوم و تحقیقات، ۱۳۸۶.
- [۲۰] شبیهی، شبیر؛ مطیع نصرآبادی، علی؛ مرادی، محمدحسن، "تفکیک افراد مستعد به الکلیسم و غیرمستعد بر مبنای پتانسیل‌های وابسته به رخداد، به کمک ماشین‌های بردار پشتیبان و ویژگی‌های آماری ویولت" سیزدهمین کنفرانس مهندسی پزشکی، اسفند ۱۳۸۵.
- [۲۱] سلیمی خورشیدی، غلامرضا؛ "استفاده از شبکه‌های عصبی به‌منظور آشکارسازی مؤلفه‌های شناختی سیگنال الکتروانسفالوگرام"، پایان‌نامه‌ی کارشناسی ارشد مهندسی پزشکی، دانشگاه صنعتی امیرکبیر، ۱۳۸۵.
- [۲۲] ابوطالبی، وحید؛ "تجزیه و تحلیل مؤلفه‌های شناختی سیگنال الکتریکی مغز و کاربرد آن‌ها در دروغ‌سنجی"، پایان‌نامه‌ی دکترای مهندسی پزشکی، دانشگاه صنعتی امیرکبیر، ۱۳۸۵.
- [۲۳] ابوطالبی، وحید؛ مرادی، محمدحسن؛ خلیل‌زاده، محمدعلی، "تشخیص مؤلفه‌های شناختی در سیگنال‌های مغزی با استفاده از ضرایب ویولت"، *مجله‌ی مهندسی پزشکی، دوره اول، شماره اول، ص.ص. ۲۵-۴۶*، ۱۳۸۳.
- [1] Wright, P. Stern, J. Phelan, M., "Core psychiatry", 2nd edition, Elsevier Saunders, ch. 5, pp. 69.
- [2] Johnson, R. Jr, "Event-related potential insights into neurobiology of memory systems", the handbook of neuropsychology, vol. 10, Amsterdam: Elsevier Science Publishers; 1995a, pp. 135-164.
- [3] Rugg, MD., "ERP studies of memory", *Electrophysiology of mind: event-related brain potentials and cognition*, New York: Oxford University Press, 1995, vol. 15, pp. 132-170.
- [4] Friedman, D.; "ERPs during continuous recognition memory for words"; *Biological Psychology* 1990; vol. 30, pp. 61-87.
- [5] Besson, M., Kutas, M., Van Petten, C.; "An event related potential (ERP) analysis of semantic congruity and repetition effects in sentences"; *Journal of Cognitive Neuroscience*; 1992; vol. 4, pp. 132-149.
- [6] Finnigan, S., Humphreys, MS., Dennis, S., Geffen, G.; "ERP 'old/new' effects: memory strength and Decisional factor(s)"; *Neuropsychologia*; 2002, vol. 40, pp.2288-2304.
- [7] Dzulkipli, M. A., Herron, J.E., Wilding, E. L., "Memory retrieval processing: Neural indices of processes supporting episodic retrieval", *Neuropsychologia*, 2006, vol. 44, pp. 1120-1130.
- [۸] قشونی، مجید؛ "کمی‌سازی سیگنال مغزی (ERP) در طی فرآیند حافظه episodic" پایان‌نامه کارشناسی ارشد مهندسی پزشکی، دانشگاه آزاد اسلامی واحد مشهد، ۱۳۸۵.
- [9] Daubechies, I., "The wavelet transform, time-frequency localization, and signal analysis", *IEEE Trans Info Theory* 1990, vol. 36, pp. 961-1005.
- [10] Ademoglu, A., Micheli-Tzanakou, E., Istefanopoulos, Y., "Analysis of pattern reversal visual evoked potentials (PRVEP's) by spline wavelets", *IEEE Trans Biomed Eng* 1997, vol. 44, pp. 881-90.
- [11] Kolev, V., Demiralp, T., Yordanova, J., Ademoglu, A., Isoglu-Alkac. U., "Timefrequency analysis reveals multiple functional components during oddball P300", *Neuroreport*, 1997, vol. 8, pp. 2061-5.
- [12] Yordanova, J., Devrim, M., Kolev, V., Ademoglu, A., Demiralp, T., "Multiple time-frequency components account for the complex functional reactivity of P300", *Neuroreport* 2000, vol. 11, pp. 1097-103.
- [13] Quiroga, R. Q., "Quantitative Analysis of EEG Signals: Time-Frequency Methods and Chaos Theory", Phd. Thesis, Medical University of Lübeck, Germany, 1998.



**وحید ابوطالبی** مدرک کارشناسی خود را در رشته‌ی مهندسی برق- الکترونیک در سال ۱۳۷۵ از دانشگاه صنعتی شریف و مدرک کارشناسی ارشد در رشته‌ی مهندسی برق- مهندسی پزشکی را در سال ۱۳۷۸ از همان دانشگاه اخذ نمود. وی در سال ۱۳۸۵ دکترای خود را در رشته‌ی مهندسی پزشکی- بیوالکترونیک از دانشگاه صنعتی امیرکبیر دریافت نمود و هم‌اکنون عضو هیأت علمی دانشکده‌ی مهندسی برق دانشگاه یزد می‌باشد. زمینه‌های تحقیقاتی مورد علاقه‌ی وی پردازش سیگنال‌های حیاتی، تجزیه و تحلیل سیگنال‌های مغزی و بررسی فعالیت‌های شناختی می‌باشد.

نشانی رایانامک (پست الکترونیکی) ایشان عبارت است از:

abootalebi@yazduni.ac.ir



**مجید قشونی** مدرک کارشناسی خود را در رشته‌ی مهندسی برق-الکترونیک در سال ۱۳۸۲ از دانشگاه آزاد بجنورد و مدرک کارشناسی‌ارشد مهندسی پزشکی- بیوالکترونیک را در سال ۱۳۸۴ از دانشگاه آزاد اسلامی واحد مشهد اخذ نمود. وی از سال ۱۳۸۵ تاکنون دانشجوی مقطع دکترای مهندسی پزشکی- بیواکترونیک در دانشگاه آزاد اسلامی واحد علوم و تحقیقات می‌باشد. زمینه‌های تحقیقاتی مورد علاقه‌ی او پردازش و تحلیل سیگنال‌های مغزی و پتانسیل‌های وابسته به رخداد مغزی (ERP)، سیستم‌های نوروفیدبک و بایوفیدبک و تحلیل فرآیندهای درکی و حافظه‌ای در انسان است.

نشانی رایانامک (پست الکترونیکی) ایشان عبارت است از:

ghoshuni@mshdiau.ac.ir

[۲۴] عطری، فرید؛ "استخراج و پردازش EEG متأثر از بیوفیدبک جهت ارسال حروف الفبای مورد توجه فرد"، پایان‌نامه‌ی کارشناسی ارشد مهندسی پزشکی، دانشگاه تهران، ۱۳۸۵.

[25] Salkind, N. J., "STATISTICS for People Who (Think They) HATE STATISTICS", 2nd edition, 2004, SAGE, ch. 9-10, pp. 160-190.

[26] Obermaier, B., Guger, C., Neuper, C., Pfurtscheller, G., "Hidden Markov models for online classification of single trial EEG data", Elsevier, 2001, Pattern Recognition Letters 22, pp. 1299-1309.



**ساجده رضائیا** مدرک کارشناسی خود را

در رشته‌ی مهندسی پزشکی در سال ۱۳۸۴

از دانشکده‌ی مهندسی پزشکی دانشگاه آزاد

اسلامی واحد علوم و تحقیقات و مدرک

کارشناسی ارشد در رشته‌ی مهندسی

پزشکی-بیوالکترونیک را در سال ۱۳۸۶ از همان دانشگاه اخذ نموده است. زمینه‌های تحقیقاتی مورد علاقه‌ی وی تجزیه و تحلیل سیگنال‌های حیاتی، پردازش سیگنال‌های مغزی و به‌طور خاص پتانسیل‌های وابسته به رخداد مغزی همچنین کاربردهای آن در علوم شناختی می‌باشد.

نشانی رایانامک (پست الکترونیکی) ایشان عبارت است از:

rezania@rcisp.com



**علی مطیع نصرآبادی** مدرک کارشناسی

خود را در رشته‌ی مهندسی برق-

الکترونیک در سال ۱۳۷۳ از دانشگاه

صنعتی امیرکبیر و مدرک کارشناسی ارشد

در رشته‌ی مهندسی برق- مهندسی

پزشکی را در سال ۱۳۷۷ از همان دانشگاه اخذ نمود. وی در سال ۱۳۸۲ دکترای خود را در رشته‌ی مهندسی پزشکی- بیوالکترونیک از دانشگاه صنعتی امیرکبیر دریافت نمود و هم‌اکنون عضو هیأت علمی دانشکده‌ی فنی- مهندسی دانشگاه شاهد می‌باشد. زمینه‌های تحقیقاتی مورد علاقه‌ی وی پردازش سیگنال‌های EEG، ERP در حالات ذهنی و BCI، فشرده‌سازی سیگنال‌های حیاتی، پردازش آشوب‌گونه و زمان-فرکانس سیگنال‌های حیاتی، شبکه‌های عصبی مصنوعی، الگوریتم ژنتیک، شناسایی الگو، مدلسازی سیستم‌های بیولوژیکی و تقویت‌کننده‌های سیگنال‌های حیاتی می‌باشد.

نشانی رایانامک (پست الکترونیکی) ایشان عبارت است از:

nasrabai@shahed.ac.ir

فصلنامه  
دوگانه



سال ۱۳۸۷ شماره ۲ پیاپی ۱۰